

川崎製鉄株千葉製鉄所

森本忠志, 針田彬, ○鈴木孝夫

川崎炉材株技術研究所

川上辰男, 長谷川晋, 原田和彦

1. 緒言

MgO-Cれんがは、溶鋼脱硫処理等に対処するため、溶鋼鍋スラグライン部へ適用される例が多くなっている。しかし、MgO-Cれんがの下部境界部が、目地部を最大とする局部溶損を受けることも多く、十分な耐用を示しているかどうかは疑問である。

著者らは、実験室的検討及び実鍋試験を行い、この境界損傷の反応機構を解明し、効果のある改善策を得ることができた。

2 実験室的検討

高周波誘導炉試験装置を用いて、上段にMgO-Cれんがを、下段にSiO₂含有量の異なるアルミナ質4種類、ろう石質1種類及びジルコン質1種類のれんがを配し、鋼(SS41・キルド鋼)のみで1600°C、2時間の侵食試験を行った。Fig.1は、この試験結果で、下部機質のシリカ溶出量と上部MgO-Cれんがの境界損傷面積の関係を示す。この結果から、MgO-Cれんがの境界損傷は、下部機質の溶出シリカ量に大きく影響されていることが判明した。

稼動面のミクロ観察結果では、局部溶損部に脱炭反応層がなく、突出したMgOがSi、Al、Fe等によってアタックを受けていることが判明した。さらに、シリカの侵入は局部溶損部がもっとも多いのに対して、FeOの侵入は境界部より湯面近傍が多いことも判明した。

3 実鍋試験

溶鋼鍋の種々の部位でMgO-Cれんがの張り分け試験を実施した。また、リムド鋼主体の溶鋼鍋でも同様な試験を行った。その結果境界損傷は、①上下ライニング時に起こり、水平方向では起こらない、②リムド鋼を主体の溶鋼鍋では起こらない、等が判明した。

4 境界損傷反応機構の推定

以上の試験結果より、境界損傷の反応機構をFig.2のように推定した。

シリカの溶出 → シリカの壁面上昇 → シリカの滞留 →

MgO-Cれんがのカーボン酸化 → 骨材の流出及び溶出。

5 境界損傷軽減対策

上記の反応機構推定より、Fig.3に示す傾斜目地施工を考案し実鍋試験を行ったところ、もっとも優れた結果を得た。

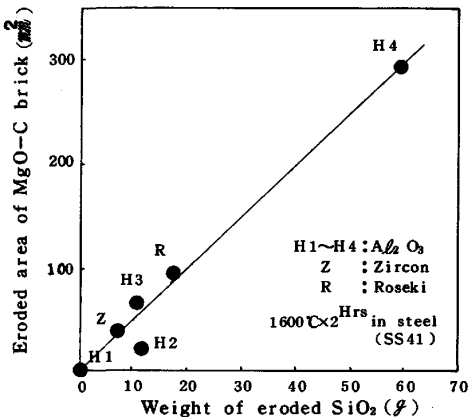


Fig. 1 Relation between weight of eroded SiO₂ and eroded area of MgO-C brick

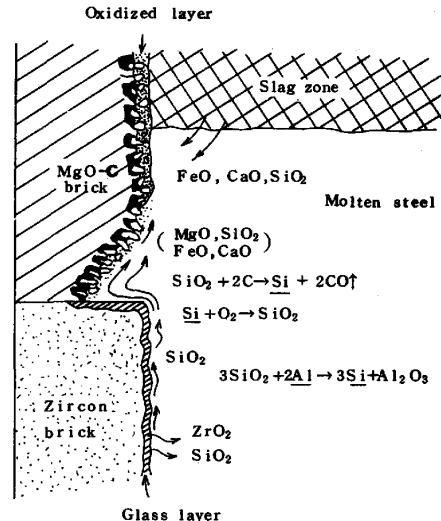


Fig. 2 Schematic illustration of the extraordinarily erosion mechanism

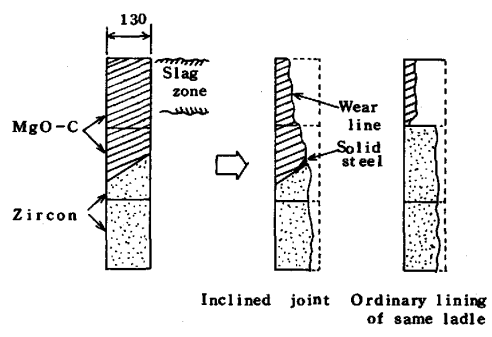


Fig. 3 Results of inclined joint lining